

---

# Precese perihélia Merkuru

F5330 Základní numerické metody

Artem Gorodilov

8. února 2025

---

## 1. Abstrakt

V této práci jsem provedl modelování precese dráhy Merkuru pomocí druhého Newtonova zákona s korekcí Obecné Teorie Relativity (OTR). Analyzoval jsem účinnost různých parametrů modelu. Zejména jsem našel optimální hodnotu koeficientu  $\beta = 1.1 \times 10^5$  a optimální parametry meze integraci  $N_T = 150$  a integračního kroku  $N_{dt} = 150$ , při kterých se vypočtená hodnota precese bude minimálně lišit od teoretické a chyba hodnoty bude minimální  $\varphi = 43.1(3)$  [arcsec/století], se liší o 0.2(8)% od teoretické hodnoty.

Výpočty byly provedeny pomocí skriptu v Pythonu (viz. PoruchikRzhevsky).

## 2. Úvod

Jedním z nejvýznamnějších experimentálních potvrzení OTR byla přesná předpověď nadbytečné precesní změny perihelia Merkurovy dráhy, která činí přibližně  $\varphi_{\text{teor}} = 43.03(3)$  [arcsec/století] Clemence [1947]. Tento jev byl dlouhou dobu neobjasněným problémem klasické nebeské mechaniky.

Podle Newtonovy gravitační teorie by se oběžné dráhy planet měly chovat jako uzavřené elipsy s ohniskem v místě Slunce. Nicméně vzájemné gravitační působení pla-

net způsobuje malé poruchy, které vedou k postupnému otáčení hlavní osy elipsy v rovině dráhy - tento jev se označuje jako precesní pohyb perihelia. U Merkuru je celková pozorovaná hodnota precesního posunu 9.55 [arcsec/století], z čehož 8.85 [arcsec/století] úhlových minut lze vysvětlit gravitačními interakcemi s ostatními planetami. Zbývajících 43.1 [arcsec/století] úhlových vteřin za století však zůstávalo nevysvětleno. OTR tento problém vyřešila zavedením relativistické opravy Newtonova gravitačního zákona.

## 3. Model

Původní Newtonův pohybový zákon pro gravitační soustavu zní:

$$\vec{F} = m\vec{r}$$

kde  $\vec{F}$  je síla působící na těleso,  $m$  je hmotnost tělesa,  $\vec{r}$  je poloha tělesa a  $\ddot{\vec{r}}$  je zrychlení tělesa. Tehdy zrychlení tělesa obíhajícího kolem Slunce lze vyjádřit jako:

$$\ddot{\vec{r}} = -\frac{GM_{\odot}}{r^2} \frac{\vec{r}}{r}$$

kde  $G$  je gravitační konstanta,  $M_{\odot}$  je hmotnost Slunce a  $r$  je vzdálenost tělesa od Slunce. To popisuje dokonalou eliptickou dráhu při keplerovském pohybu. Pokud však uvažujeme další efekty, musíme tuto

rovnici upravit tak, aby zahrnovala další členy, které aproximují efekty OTR:

$$\ddot{\vec{r}} = -\frac{GM_{\odot}}{r^2} \left( 1 + \alpha \frac{2GM_{\odot}}{rc^2} + \beta \frac{L^2}{m_p^2 r^2 c^2} \right) \frac{\vec{r}}{r} \quad (1)$$

kde  $\alpha$  a  $\beta$  jsou koeficienty,  $L$  je moment hybnosti tělesa,  $m_p$  je hmotnost planety a  $c$  je rychlost světla.

Člen

$$\alpha \frac{2GM_{\odot}}{rc^2}$$

je tzv. Schwarzschildova korekce (relativistická gravitační korekce). Tento člen vyplývá z OTR. Koriguje Newtonovu gravitaci na malých vzdálenostech zohledněním zakřivení časoprostoru. Tato korekce zvyšuje sílu gravitace v blízkosti Slunce, čímž modifikuje oběžnou dráhu. Parametr  $\alpha$  řídí sílu této korekce. To způsobuje precesi perihelia Merkuru v čase. Místo toho, aby dráha sledovala dokonalou elipsu, pomalu rotuje v důsledku zakřivení časoprostoru.

Člen

$$\beta \frac{L^2}{m_p^2 r^2 c^2}$$

je tzv. Frame-dragging korekce (v závislosti na úhlovém momentu hybnosti). Tento člen závisí na úhlovém momentu hybnosti Merkuru  $L$ . Zohledňuje, jak pohyb zakřiveným časoprostorem ovlivňuje dráhu. Někdy je spojován s frame-dragging efekty v silných gravitačních polích Pfister [2007]. Moment hybnosti  $L^2$  Merkuru lze vypočítat takto:

$$L^2 = |\vec{r} \times \dot{\vec{r}}|^2 \quad (2)$$

Tento člen modifikuje pohyb v důsledku skutečnosti, že energie a úhlový moment hybnosti se v relativistické soustavě

striktně nezachovávají. Přidává další korekci, která mírně mění precesi perihelia. Její velikost se řídí parametrem  $\beta$ .

Koeficienty  $\alpha$  a  $\beta$  pro Merkur jsou dány OTR<sup>1</sup>:

$$\alpha = 0, \quad \beta = 3 \quad (3)$$

## 4. Pipeline

### 4.1. Počáteční podmínky

K vyřešení problému jsem použil metodu intergování pohybu Merkuru po jeho oběžné dráze. Samozřejmě musíme někde začít. Tímto začátkem je poloha Merkuru v periheliu, daná hodnotou  $r_{\text{per}}$ , která byla vypočtena jako:

$$r_{\text{per}} = a(1 - e) \quad (4)$$

kde  $a$  je velká poloosa dráhy a  $e$  je excentricita dráhy. Pro Merkur je  $a = 57.909 \times 10^9$  m a  $e = 0.2056$ .

K popisu pohybu je zapotřebí tečnou rychlost  $\dot{r}_{\text{per}}$  a dostředivé zrychlení  $\ddot{r}_{\text{per}}$  v periheliu. Tyto hodnoty byly vypočteny jako:

$$\dot{r}_{\text{per}} = \sqrt{\frac{GM_{\odot}}{a} \frac{1+e}{1-e}} \quad (5)$$

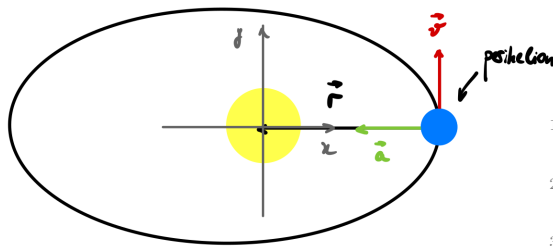
a

$$\ddot{r}_{\text{per}} = \frac{GM_{\odot}}{r_{\text{per}}^2} \quad (6)$$

Získané hodnoty se rovnají:

$$\begin{aligned} r_{\text{per}} &= 4.6 \times 10^{10} \text{ m}, \\ \dot{r}_{\text{per}} &= 5.9 \times 10^4 \text{ m/s}, \\ \ddot{r}_{\text{per}} &= 0.0627 \text{ m/s}^2 \end{aligned}$$

<sup>1</sup>Všechny parametry Merkuru byly převzaty z: <https://nssdc.gsfc.nasa.gov/planetary/factsheet/mercuryfact.html>



Obrázek (1) Systema Merkur-Slunce a základní parametry.

$r_{\text{per}}$  a  $\dot{r}_{\text{per}}$  jsem spojil do vektorů:

```
1 # Initial conditions
2 r0 = np.array([perihelion_distance,
3               0, 0]) # Mercury starts at
4                       perihelion
5 v0 = np.array([0, v_perihelion, 0])
6                       # tangential velocity at
7                       perihelion
```

Listing (1) Počáteční podmínky

kde `perihelion_distance` je hodnota  $r_{\text{per}}$  a `v_perihelion` je hodnota  $\dot{r}_{\text{per}}$ .

Simulace bude vyžadovat také znalost periody oběžné dráhy Merkuru. Tato hodnota bude použita k určení doby integrace. Pro tento účel bude hodnota periody (jeden celý oběh) vynásobena požadovaným počtem oběhů  $N_T$ . Oběžná perioda Merkuru je rovna:

$$T = 87.969 \text{ d} \quad (7)$$

Integrační krok  $dt$  lze dobře aproximovat pomocí vzorce:

$$dt = \frac{2\dot{r}_{\text{per}}}{\ddot{r}_{\text{per}}} \frac{1}{N_{\text{dt}}} \quad (8)$$

kde pomocí  $N_{\text{dt}}$  lze získat požadovaný počet kroků integrace a tím zvýšit přesnost výpočtu.

## 4.2. Simulace

Integrace se provádí pomocí funkce `simulate_orbit()`, která jako vstupní pa-

rametry přijímá  $\alpha$ ,  $\beta$ ,  $N_T$  a  $N_{\text{dt}}$ . Tato funkce vrací vektor polohy Merkuru v průběhu času  $\vec{r}$ .

```
1 def simulate_orbit(alpha, beta, N_T,
2   N_dt):
3     T, dt, steps = time_parameters(
4       N_T, N_dt)
5
6     r = np.zeros((steps, 3))
7     v = np.zeros((steps, 3))
8
9     r[0] = r0
10    v[0] = v0
11
12    for i in range(steps - 1):
13        a = acceleration(r[i], v[i],
14                          alpha, beta)
15
16        v[i+1] = v[i] + a * dt *
17                86400 # days to seconds
18        r[i+1] = r[i] + v[i+1] * dt
19                * 86400
20
21    return r
```

Listing (2) Simulace oběhu

Funkce vypočítá celkovou dobu integrace  $T$  a integrační krok  $dt$  pomocí funkce `time_parameters()`, která jako vstup přijme  $N_T$  a  $N_{\text{dt}}$  a vrátí  $T$ ,  $dt$  a počet integračních kroků `steps`.

```
1 def time_parameters(N_T, N_dt):
2     T = N_T * T_mercury #
3       interactions in days
4     dt = (2 * v_perihelion /
5           a_perihelion) / 86400 / N_dt
6           # days
7
8     steps = int(T / dt)
9
10    return T, dt, steps
```

Listing (3) Parametry integrace

Funkce `simulate_orbit()` vytvoří pole  $\mathbf{r}$  a  $\mathbf{v}$  pro uložení vektorových dat polohy a rychlosti. Jako počáteční vektory bereme jejich hodnoty v periheliu vypočtené dříve. Funkce pak pomocí cyklu `acceleration()`

vypočítá zrychlení pro každou polohu planety při jejím oběhu.

Tato funkce je nejdůležitější, protože je zodpovědná za precesi Merkurova perihelia. Funkce přijímá jako vstup vektor polohy planety  $\mathbf{r}$ , rychlost  $\mathbf{v}$  a koeficienty  $\alpha$  a  $\beta$ . Funkce provede vektorové transformace pro výpočet momentu hybnosti  $L$  a vypočítá jej podle vzorce (2). Dále funkce vypočítá korekční člen  $v$  v závorkách v rovnici (1). Poté funkce vypočítá vektor zrychlení a podle vzorce (1) a vrátí jeho hodnotu.

```

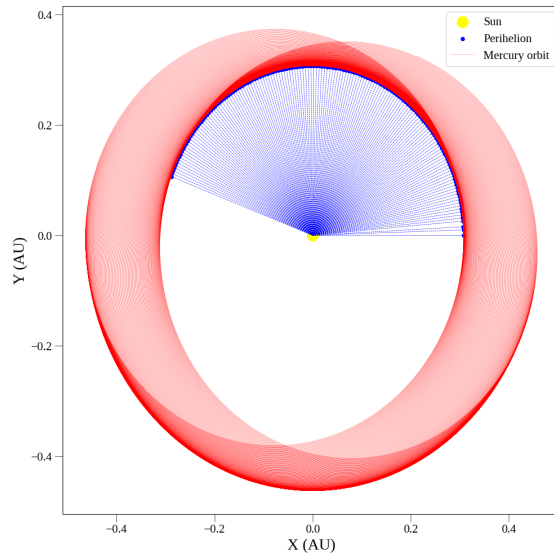
1 def acceleration(r, v, alpha, beta):
2     r_mag = np.linalg.norm(r) #
3     # calculating the magnitude of
4     # the position vector
5     r_unit = r / r_mag # unit
6     # vector in the direction of r
7
8     # Calculating angular momentum
9     # squared term: (r vec * r vec
10    # dot)^2 / c^2
11    L_squared = np.linalg.norm(np.
12    cross(r, v))**2 / c**2
13
14    # Calculating the relativistic
15    # correction factors
16    correction_term = 1 + (alpha * 2
17    * G * M_sun) / (r_mag * c
18    **2) + beta * L_squared /
19    r_mag**2
20
21    # Calculating the acceleration
22    # vector
23    a = -G * M_sun / r_mag**2 *
24    correction_term * r_unit
25
26    return a

```

Listing (4) Výpočet zrychlení

### 4.3. Výpočet precese

Získáním vektorů polohy planety v čase<sup>1</sup> můžeme ověřit, že dráha Merkuru je sku-<sup>2</sup>tečně precesní. To lze provést vizuální ana-<sup>3</sup>lyzou dráhy, kterou planeta urazila během



Obrázek (2) Oběžná dráha Merkuru s precesí perihelia. Parametry:  $\alpha = 0$ ,  $\beta = 1.1 \times 10^5$ ,  $N_T = 150$ ,  $N_{dt} = 150$ .

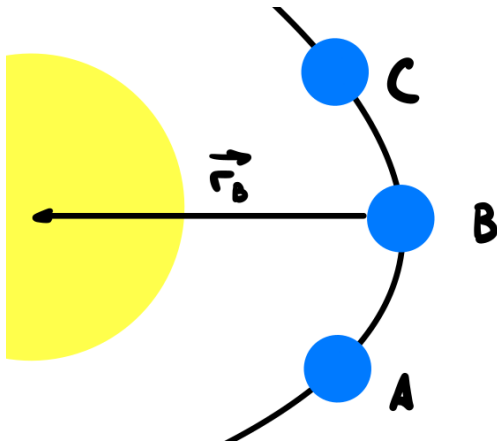
doby integrace. Výsledek je znázorněn na obrázku (2).

Abychom mohli vypočítat precesi perihelia Merkuru, musíme zjistit všechny polohy perihelia Merkuru a poté zjistit úhlový posun perihelia mezi dvěma po sobě jdoucími polohami. K tomu jsem použil funkci `find_perihelion_positions()`, která přijímá vektor poloh Merkuru  $\mathbf{r}$  a vrací pole poloh Merkuru v periheliu a jejich chyby. Funkce funguje následovně: cyklem prochází všechny polohy planety a hledá tři polohy A, B a C, které následují (viz obrázek 3). Bod  $r_B$  bude perehelem, pokud  $r_B < r_A$  a  $r_B < r_C$ . Pokud je tato podmínka splněna, je poloha  $r_B$  přidána do pole poloh perihelia. Chyba polohy perihelia se aproximuje jako střední hodnota rozdílu mezi  $r_A$  a  $r_C$ .

```

1 def find_perihelion_positions(r):
2     r_magnitude = np.linalg.norm(r,
3     axis=1)
4     perihelion_positions = [r[0]] #
5     # starting with the initial

```



Obrázek (3) Schéma hledání polohy perihelia.

```

4     perihelion
5     uncertainties = []
6
7     for i in range(1, len(
8         r_magnitude) - 1):
9         if r_magnitude[i] <
10            r_magnitude[i - 1] and
11            r_magnitude[i] <
12            r_magnitude[i + 1]:
13             perihelion_positions.
14                 append(r[i])
15             uncertainty = abs(
16                 r_magnitude[i+1] -
17                 r_magnitude[i-1]) /
18                 2 # approximation
19                     of positional
20                     uncertainty
21             uncertainties.append(
22                 uncertainty)
23
24     first_uncertainty = np.mean(
25         uncertainties)
26     uncertainties.insert(0,
27         first_uncertainty)
28
29     return np.array(
30         perihelion_positions), np.
31         array(uncertainties)

```

Listing (5) Výpočet poloh perihelia

Samotná precese je definována jako úhlový posun perihelia mezi dvěma po sobě následujícími polohami  $\vec{r}_1$  a  $\vec{r}_2$ . Úhel mezi

těmito dvěma vektory je definován jako:

$$\cos \theta = \frac{\vec{r}_1 \cdot \vec{r}_2}{|\vec{r}_1||\vec{r}_2|} \quad (9)$$

Dot Product vektorů  $\vec{r}_1$  a  $\vec{r}_2$  je definován jako:

$$\vec{r}_1 \cdot \vec{r}_2 = x_1x_2 + y_1y_2 \quad (10)$$

Velikosti vektorů  $\vec{r}_1$  a  $\vec{r}_2$  jsou definovány jako:

$$|\vec{r}_1| = \sqrt{x_1^2 + y_1^2}, |\vec{r}_2| = \sqrt{x_2^2 + y_2^2} \quad (11)$$

Dosazením (10) a (11) do (9) a řešením pro  $\theta$  získáme úhlové posunutí mezi oběma vektory:

$$\theta = \arccos \left( \frac{x_1x_2 + y_1y_2}{\sqrt{x_1^2 + y_1^2}\sqrt{x_2^2 + y_2^2}} \right) \quad (12)$$

K výpočtu se používá funkce `calculating_perihelion_angles()`, která bere vektory polohy planety a jejich chyby a vrací průměrný úhlový posun perihelia a jeho chybu.

```

1 def calculating_perihelion_angles(
2     positions , uncertainties):
3     angles_val = []
4     angles_err = []
5     for i in range(1, len(positions)
6         ):
7         position_x_1 = ufloat(
8             positions[i-1][0],
9             uncertainties[i-1])
10        position_y_1 = ufloat(
11            positions[i-1][1],
12            uncertainties[i-1])
13
14        position_x_2 = ufloat(
15            positions[i][0],
16            uncertainties[i])
17        position_y_2 = ufloat(
18            positions[i][1],
19            uncertainties[i])

```

```

11     phi = um.acos((position_x_1
12                   * position_x_2 +
13                   position_y_1 *
14                   position_y_2) / (um.sqrt
15                   (position_x_1**2 +
16                   position_y_1**2) * um.
17                   sqrt(position_x_2**2 +
18                   position_y_2**2)))
19     angles_val.append(um.degrees
20                      (phi).nominal_value)
21     angles_err.append(um.degrees
22                      (phi).std_dev)
23
24     average_precession = ufloat(np.
25                                 mean(angles_val), uncert(
26                                 angles_val, np.mean(
27                                 angles_err)))
28
29     return average_precession

```

Listing (6) Výpočet úhlového posunu perihelia

Pro určení úhlu posunu perihelia za století v akresekundách je třeba určit poměr pozemského roku k merkurovskému roku:

$$T_{\text{rel}} = \frac{T_{\text{Earth}}}{T_{\text{Mercury}}} = \frac{365.256}{87.969} = 4.152$$

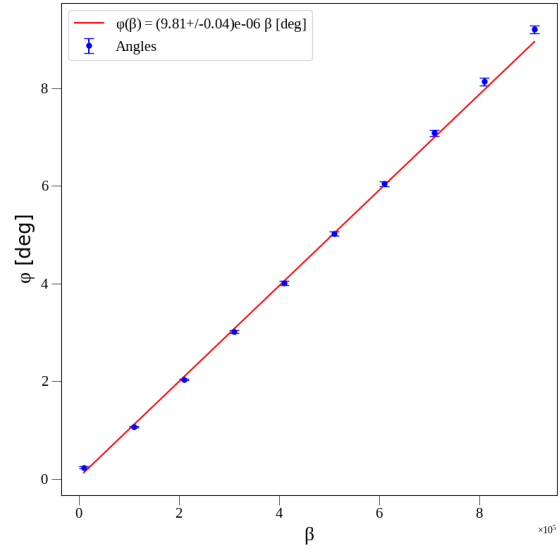
Pak úhel posunu perihelia za století v akresekundách je roven:

$$\varphi = \frac{\varphi_{\text{deg}}}{T_{\text{rel}}} \times 3600 \times 100 \frac{(k_{\beta}, k_{\alpha})}{(\alpha, \beta)} \quad (13)$$

Poslední násobitel v rovnici (13) je nutný pro škálování výsledku na koeficienty  $\alpha$  a  $\beta$ . Z (3) vyplývá, že  $k_{\alpha} = 0$  a  $k_{\beta} = 3$ . Hodnoty  $\alpha$  a  $\beta$  budou vysvětleny a vypočteny v následující části. Rovnice (13) bude vypadat takto:

$$\varphi = \frac{\varphi_{\text{deg}}}{T_{\text{rel}}} \times 3600 \times 100 \frac{3}{\beta} \quad (14)$$

K výpočtu veličin a jejich nejistot byla použita knihovna Uncertainties pro Python.



Obrázek (4) Závislost úhlu posunu perihelia na hodnotě koeficientu  $\beta$  při  $\alpha = 0$ .

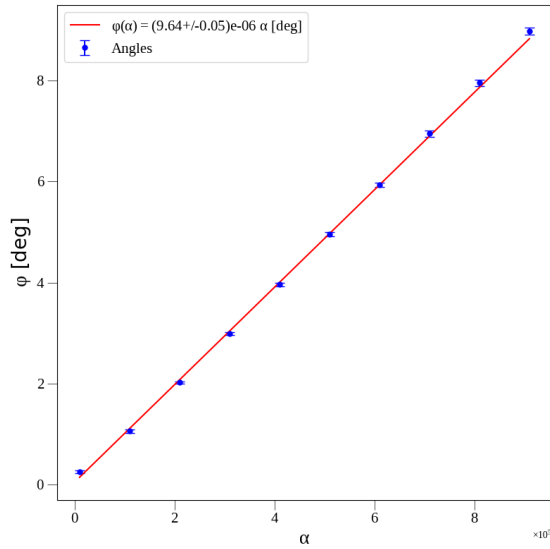
Chyby byly rozšířeny o Studentův koeficient (2-Tail Confidence Level) s ohledem na stupně volnosti pro každou hodnotu, pro interval spolehlivosti 68.27%.

## 5. Analýza výsledků

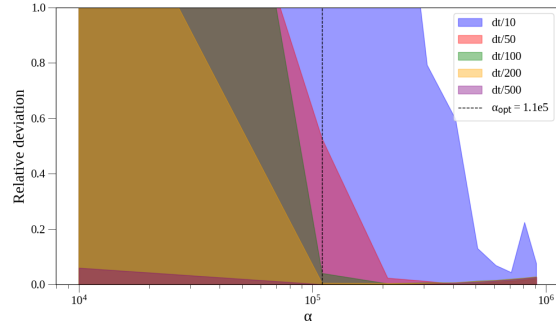
### 5.1. Optimální hodnoty koeficientů $\alpha$ a $\beta$

Pro získání odpovídající hodnoty úhlu posunu perihelia je třeba zvolit potřebné hodnoty koeficientů  $\alpha$  a  $\beta$ . Z (3) vidíme, že hodnoty  $\alpha$  a  $\beta$  pro Merkur jsou resp. 0 a 3. Pokud však provedeme simulace s těmito hodnotami, posun perihelia nepozorujeme. To je dobře vidět na obrázku (4), který ukazuje lineární závislost úhlu posunu perihelia  $\varphi$  na hodnotě koeficientu  $\beta$  při pevné hodnotě  $\alpha = 0$ . Jak je vidět, posun se stává znatelným při hodnotách  $\beta \approx \times 10^5$ .

Totéž se stane, pokud stanovíme  $\beta = 0$  a změníme  $\alpha$ . Jak je patrné z obrázku (5), úhlový posun perihelia je patrný při hod-



Obrázek (5) Závislost úhlu posunu perihelia na hodnotě koeficientu  $\alpha$  při  $\beta = 0$ .



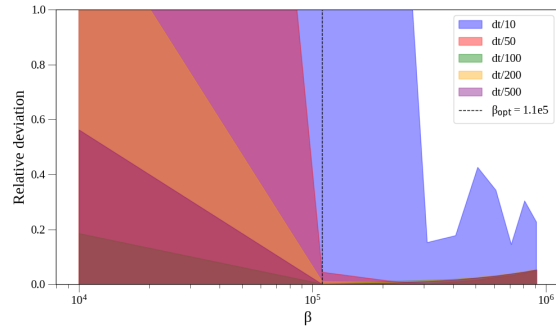
Obrázek (6) Závislost odchylky úhlu posunu perihelia od teoretické hodnoty na hodnotě koeficientu  $\beta$  při  $\alpha = 0$ .

notách  $\alpha \approx \times 10^5$ .

Vyvstává otázka, jak zvolit optimální hodnoty koeficientů  $\alpha$  a  $\beta$ , aby se průměrná hodnota úhlu posunutí perihelia co nejméně lišila od teoretické hodnoty? Za tímto účelem jsem provedl sérii simulací s různými hodnotami  $\beta$  při pevných hodnotách  $\alpha = 0$  a  $\alpha$  při pevných hodnotách  $\beta = 0$ . Simulace byly provedeny pro různé hodnoty integračních kroků  $dt/N_{dt}$ . Integrační interval byl ve všech situacích stejný  $TN_T = 90T$ .

Výsledky jsou uvedeny na obrázcích (6) a (7). Výpočty byly provedeny pomocí funkce `getting_angle_data()`, která vypočítá hodnoty úhlů perihelia pro různé hodnoty  $\alpha$  a  $\beta$ , načtež funkce `plotting_difference()` vypočítá relativní odchylku od teoretické hodnoty a vykreslí závislost této odchylky na  $\alpha$  a  $\beta$ .

Z obrázků je patrné, že velikost relativní chyby závisí na velikosti integračního kroku. Například při  $dt/10$  je relativní chyba vysoká v celém rozsahu hod-



Obrázek (7) Závislost odchylky úhlu posunu perihelia od teoretické hodnoty na hodnotě koeficientu  $\alpha$  při  $\beta = 0$ .

not  $\alpha$  a  $\beta$ . Se zmenšováním integračního kroku je zřejmé, že nejmenší relativní chyba je dosažena při hodnotách  $\beta \approx 1.1 \times 10^5$   $\alpha \approx 1.1 \times 10^5$ .

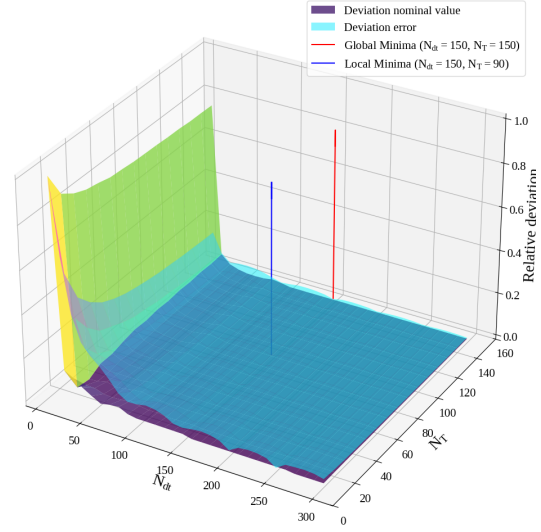
Právě tato hodnota by měla být použita při simulaci a později bude použita jako hodnota  $\beta$  ve vzorci (14) pro výpočet úhlu posunu perihelia za století.

## 5.2. Optimální hodnoty integračních kroků a intervalu integrace

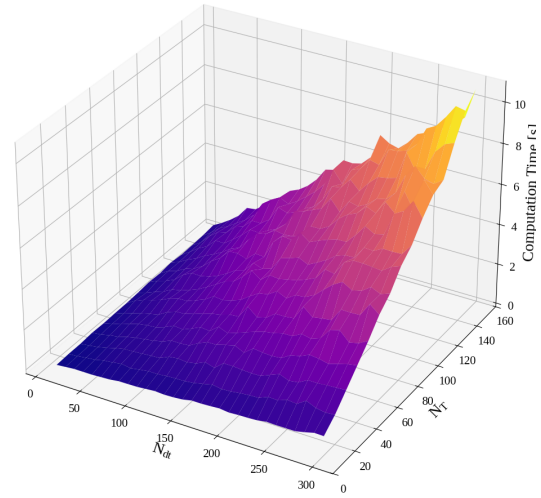
Je velmi důležité správně definovat integrační krok a integrační interval. Oba tyto parametry ovlivňují přesnost a dobu výpočtu. Minimalizace těchto parametrů vyžaduje analýzu funkce dvou proměnných  $\sigma(N_T, N_{dt})$ , kde  $\sigma$  je relativní odchylka přesného úhlu od teoretické hodnoty,  $\sigma_{err}$  je chyba odchylky a  $t_{compute}(N_T, N_{dt})$  je doba výpočtu.

Abych zjistil optimální hodnoty těchto parametrů, provedl jsem test efektivnosti pomocí funkce `efficiency_test()`. Tato funkce přijímá jako vstup hodnoty  $\alpha$  a  $\beta$  a pole hodnot  $N_T$  a  $N_{dt}$  v následujících rozmezích:  $10 < N_T < 200$  a  $10 < N_T < 500$  v přírůstcích po 10 bodech. Funkce vrací pole hodnot  $\sigma$ ,  $\sigma_{err}$  a  $t_{compute}$  pro každou kombinaci  $N_T$  a  $N_{dt}$ . Výsledky jsou zobrazeny na obrázcích (8) a (9).

Jak je vidět, s rostoucí dobou integrace a klesajícím integračním krokem se lineárně počítá doba výpočtu  $t_{compute}$ . Což se dalo očekávat. Pro výpočet optimálních hodnot  $N_T$  a  $N_{dt}$  budu analyzovat pouze funkce  $\sigma(N_T, N_{dt})$  a  $\sigma_{err}(N_T, N_{dt})$ . Za tímto účelem jsem obě funkce normalizoval a sečetl do jedné funkce  $\sigma_{total}(N_T, N_{dt})$ . Poté jsem našel globální minimum této funkce (červená šipka na obrázku 8). Ukázalo se, že je to hodnota:



Obrázek (8) Závislost odchylky úhlu posunu perihelia od teoretické hodnoty na hodnotách  $N_T$  a  $N_{dt}$ .



Obrázek (9) Závislost doby výpočtu na hodnotách  $N_T$  a  $N_{dt}$ .



$$N_T = 150, N_{dt} = 150$$

Provedením simulace s těmito hodnotami byla získána hodnota  $\varphi = 43.1(3)$  [arcsec/století] která se liší od teoretické hodnoty o 0.2(8)%

Jsem se rozhodl najít lokální minimum v oblasti hodnot  $N_T < 100$  a  $N_{dt} < 200$  (modrá šipka na obrázku 8). Ukázalo se, že tato hodnota je rovna:

$$N_T = 90, N_{dt} = 150$$

Provedením simulací s těmito hodnotami jsem získal hodnotu  $\varphi = 43.4(5)$  [arcsec/století], která se od teoretické hodnoty liší o  $(0.9 \pm 1.3)\%$ .

Je tedy vidět, že hodnoty  $N_T$  a  $N_{dt}$  nalezené v globálním minimu jsou tedy pro tento problém optimální.

## 6. Závěr

Výsledky simulace ukazují uspokojivé výsledky, které se shodují s teoretickými údaji z literatury  $\varphi = 43.1(3)$  [arcsec/století]. Pro tento problém jsme také našli optimální hodnoty parametrů  $\alpha$  a  $\beta$ :  $\alpha = 0$ ,  $\beta = 1.1 \times 10^5$ . Také jsme našli optimální hodnoty  $N_T$  a  $N_{dt}$ :  $N_T = 150$ ,  $N_{dt} = 150$ . To vše nás vede k závěru, že tento model je pro danou úlohu vyhovující.

Mezi věci, které lze zlepšit, patří doba výpočtu. Při hledání optimálních parametrů v části 5.2. bylo globální minimum nalezeno v suboptimálních mezích z hlediska výpočetního času. Zároveň se ukázalo, že hodnoty na výstupu jsou poměrně přesné. Možná, že změna některých kroků v procesu integrace by mohla proces optimalizovat lepším způsobem.

## Reference

- G. M. Clemence. The Relativity Effect in Planetary Motions. *Reviews of Modern Physics*, 19(4):361–364, Oct. 1947. doi: 10.1103/RevModPhys.19.361.
- C. Körber, I. Hammer, J.-L. Wynen, J. Heuer, C. Müller, and C. Hahnart. A primer to numerical simulations: the perihelion motion of mercury. *Physics Education*, 53(5):055007, jun 2018. doi: 10.1088/1361-6552/aac487. URL <https://dx.doi.org/10.1088/1361-6552/aac487>.
- H. Pfister. On the history of the so-called Lense-Thirring effect. *General Relativity and Gravitation*, 39(11):1735–1748, Nov. 2007. doi: 10.1007/s10714-007-0521-4.
- PoruchikRzhevsky. mercury\_perihelion\_precession. [https://github.com/PoruchikRzhevsky/mercury\\_perihelion\\_precession](https://github.com/PoruchikRzhevsky/mercury_perihelion_precession).

## Poděkování

Tato práce byla inspirována článkem Körber et al. [2018]. Jedná se o skvělou práci, a to jak z pedagogického, tak praktického hlediska. Převzal jsem z něj to nejlepší a některé tipy použil ve své analýze.